ELASTIC SOLUTIONS FOR MASONRY-LIKE WALLS.

M. Angelillo*, A. Fortunato* & L.Cardamone**

*Dipartimento di Ingegneria Civile, Università di Salerno, Via Ponte don Melillo, Fisciano – 84084 Salerno, Italia, Email: mangelillo@unisa.it; a.fortunato@unisa.it.

**Texas A&M University, College Station, Texas 77843, Email: lcardamo@unisa.it

Riferimenti

- Del Piero G. Constitutive equation and compatibility of the external loads for linear elastic masonry-like materials, *Meccanica*, **24**, (1989)
- Giaquinta M., Giusti E., Researches on the Equilibrium of Masonry Structures, Arch. Ration. Mech. Anal., 88, (1985)
- Sacco, E.: Una procedura di omogeneizzazione non lineare per muratura periodica, Workshop on Design for Rehabilitation of Masonry Structures, Lacco Ameno (ISCHIA), 11-12 Ottobre 2007

GMA 2008

RIUNIONE DEL GRUPPO MATERIALI DELL'AIMETA, Associazione Italiana di Meccanica Teorica ed Applicata Facoltà di Architettura, Università degli Studi di Genova, 29 febbraio-1 marzo 2008

II Modello "Masonry-Like"

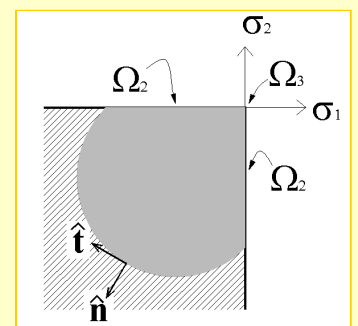
Materiale non reagente a trazione, con limitata resistenza a compressione: problemi di evoluzione quasi-statica, dipendenti dal percorso di carico ma indipendenti dalla scala del tempo.

Problemi 2D, Piccole deformazioni: $\mathbf{e} = \frac{1}{2} (\nabla \mathbf{u} + \nabla \mathbf{u}^T)$

es λt at p $T = C\epsilon$ $T \in T = \mathbb{K} \cap NSym$ Restrizioni materiali:

 $\lambda \in PSym \Leftrightarrow tr\lambda \geq 0, det\lambda \geq 0 \quad T\lambda = 0$

 $(\mathbf{T} - \mathbf{T}^*) \cdot \dot{\mathbf{\epsilon}}^p \ge 0$, $\forall \mathbf{T}^* \in \mathbb{K}$ (Relazione di normalità, legge di flusso plastico associato)



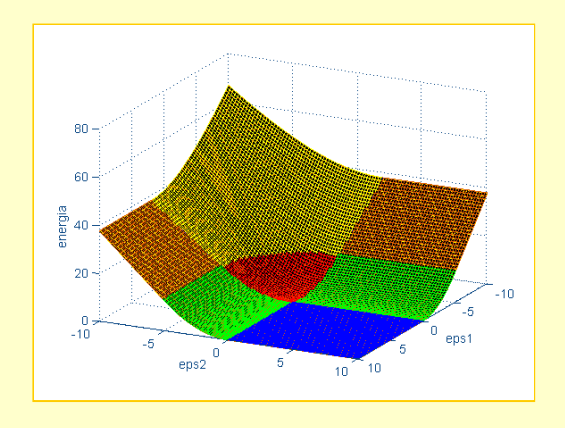
Strain -rate potential [']

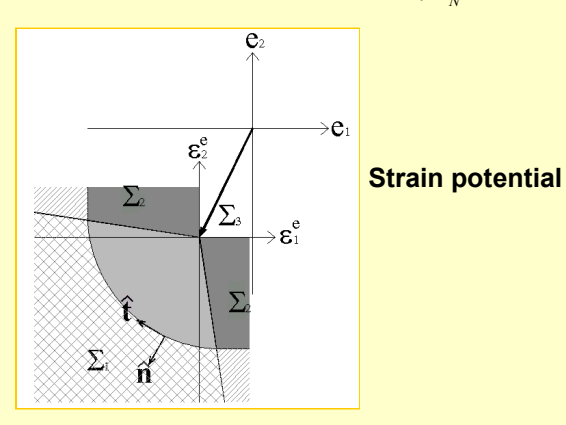
Formulazione del BVIP e discretizzazione temporale

$$div \mathbf{T}(t) + \mathbf{b}_{t} = \mathbf{0} \qquad \mathbf{T}(t) \hat{\mathbf{n}} = \mathbf{p}_{t} \quad su \, \partial \Omega_{p}(t), \quad \mathbf{u} = \overline{\mathbf{u}} \quad su \, \partial \Omega_{u}(t) \qquad s(0) = (\mathbf{u}(0), \mathbf{T}(0), \quad \boldsymbol{\xi}(0), \quad \boldsymbol{\xi}(0),$$

Traiettoria quasi-statica:
$$s^{0}(t) = (\mathbf{u}^{0}(t), \mathbf{T}\lambda(t), \ \ \mathbf{\hat{\epsilon}}(t), \ \ \mathbf{\hat{\epsilon}}(t), \ \ \mathbf{\hat{\epsilon}}(t), \ \ \mathbf{\hat{\epsilon}}(t)$$

ottenuta integrando nel tempo $d\mathbf{e}^0$. $d\mathbf{e}^0$ è il minimizzatore del funzionale $A(\dot{\mathbf{u}}) = -\int_0^{\mathbf{b}} \dot{\mathbf{u}} \, da - \int_{\partial 0}^{\mathbf{b}} \dot{\mathbf{u}} \, da + \int_{\partial 0}^{\mathbf{b}} \dot{\mathbf{u}} \, ds +$





Discretizzazione temporale

L'intervallo temporale [0,T] è suddiviso in k sottointervalli per mezzo degli istanti: $0 = t_0 < t_1 < ... < t_k < ... < t_k = T$

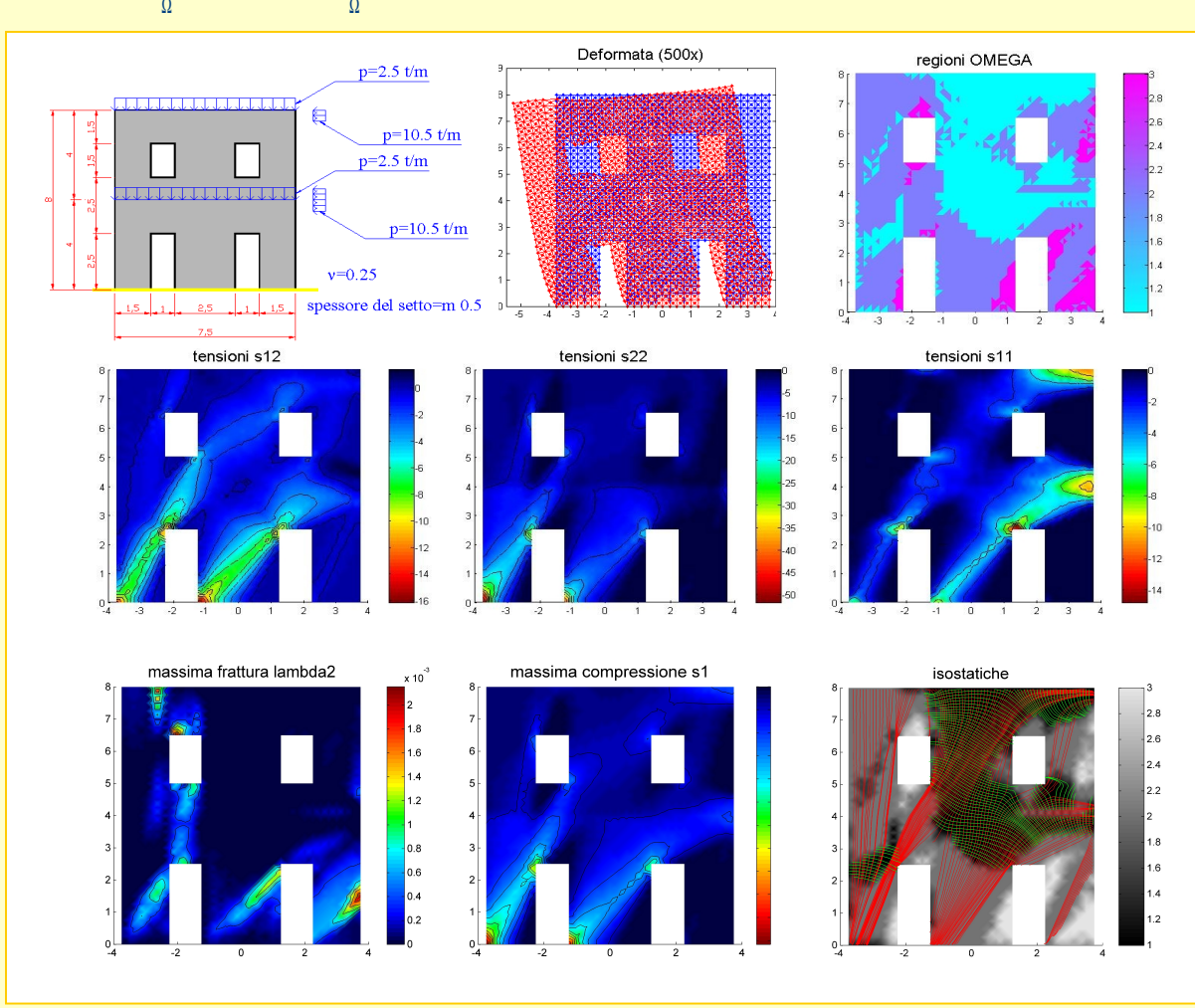
e la soluzione approssimata $s_{i+1}^0 = \left(\mathbf{u}_{i+1}^0, \mathbf{T}_{i+1}^0, \sum_{i=1}^{p_0}, \sum_{i=1}^{p_0}\right)$ ad ogni tempo t_{i+1} è definita induttivamente come minimizzatore del funzionale

$$\mathcal{E}_{i+1} = -\int_{\partial \Omega_{p}^{i+1}} \mathbf{p}_{i+1} \cdot \mathbf{u} \, da - \int_{\Omega} \mathbf{b}_{i+1} \cdot \mathbf{u} \, dx + \int_{\Omega} \hat{\Psi} \left(\mathbf{e} \mathbf{\epsilon}_{i}^{p} \right) \, dx$$

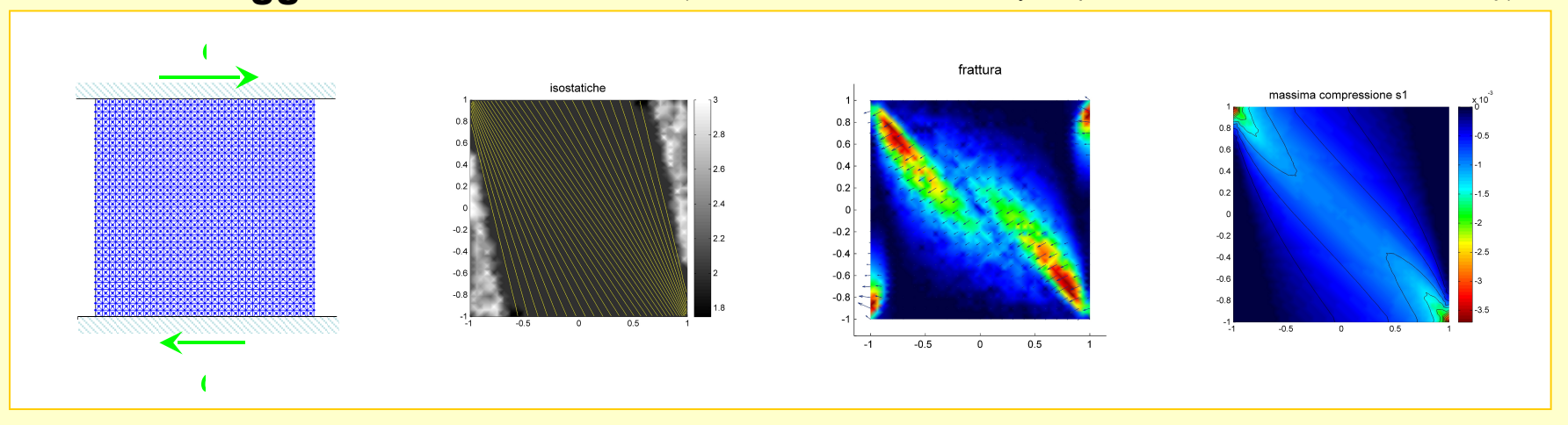
Per il problema variazionale incrementale di minimizzazione del funzionale si adotta una formulazione lagrangiana totale con condizione iniziale lo stato s_i^0 soluzione al passo i.

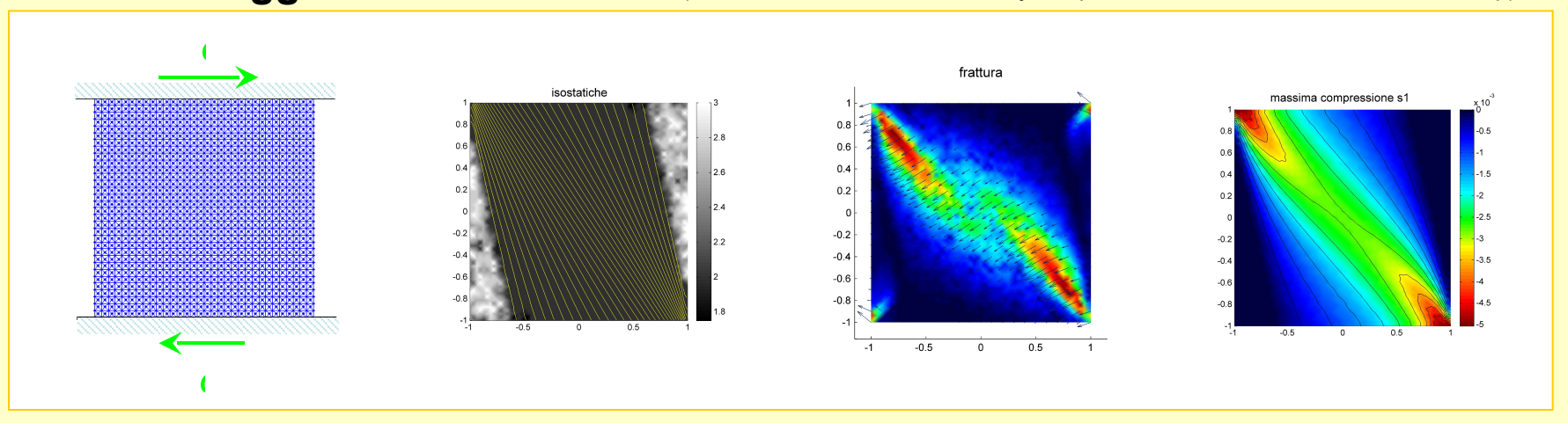
Parete di materiale NRT

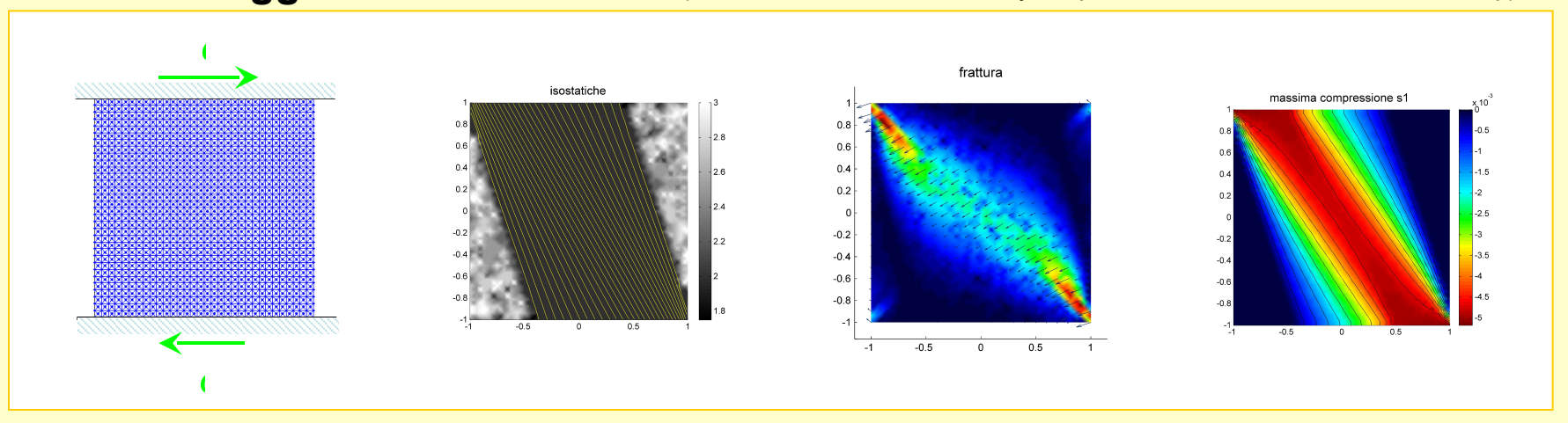
Si considera una parete di materiale NRT con ν =0.25, aperture su due piani, sottoposta a carichi verticali che simulano scarichi di solai ed carichi orizzontali a livello dei solai che simulano carichi statici equivalenti da sisma.

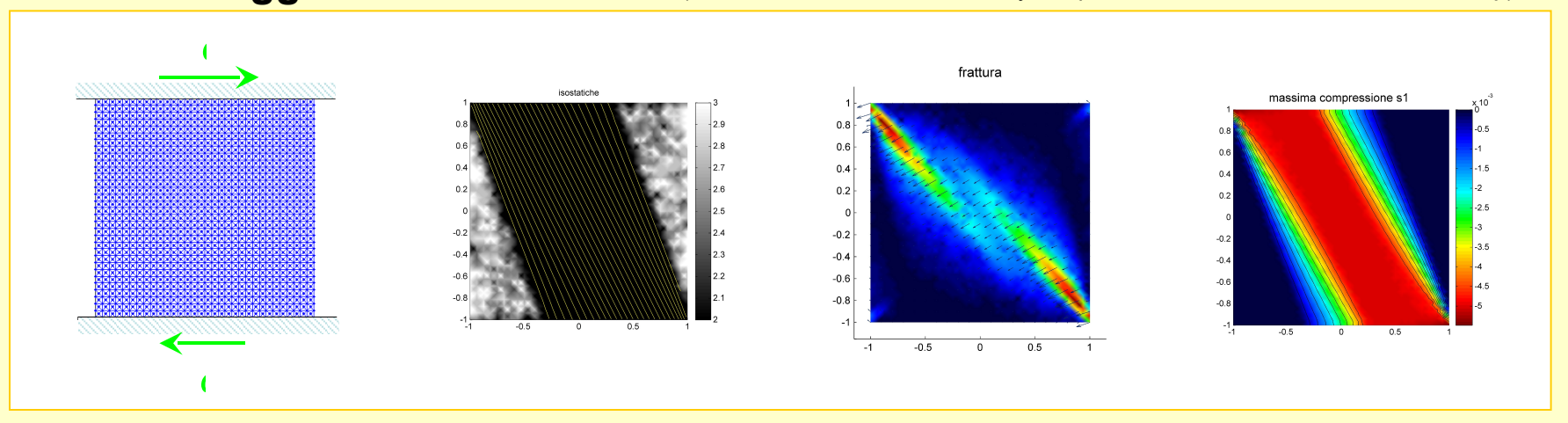


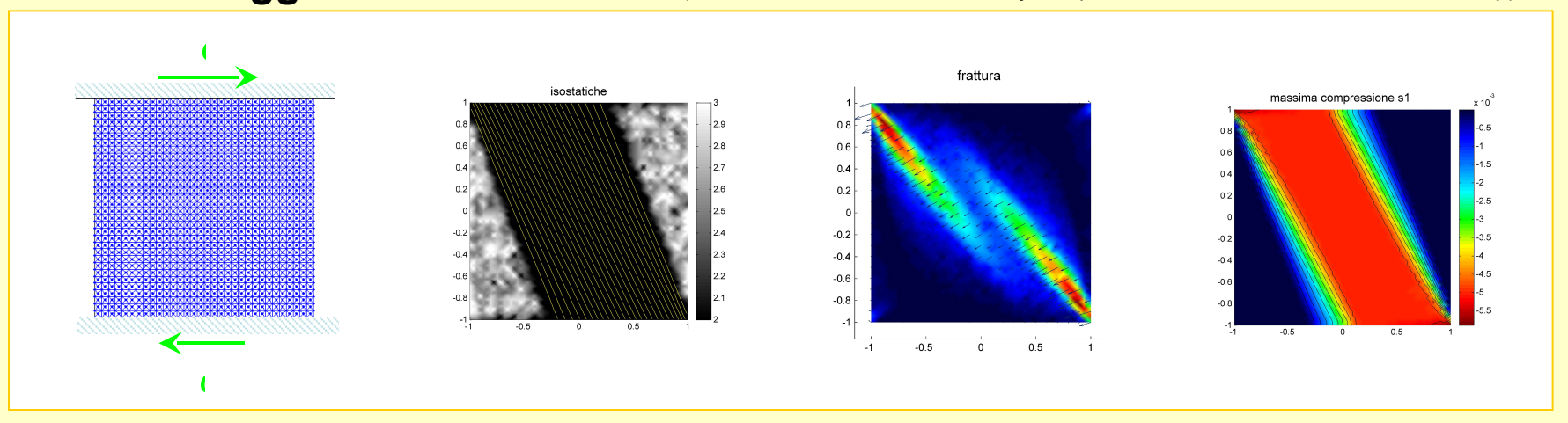


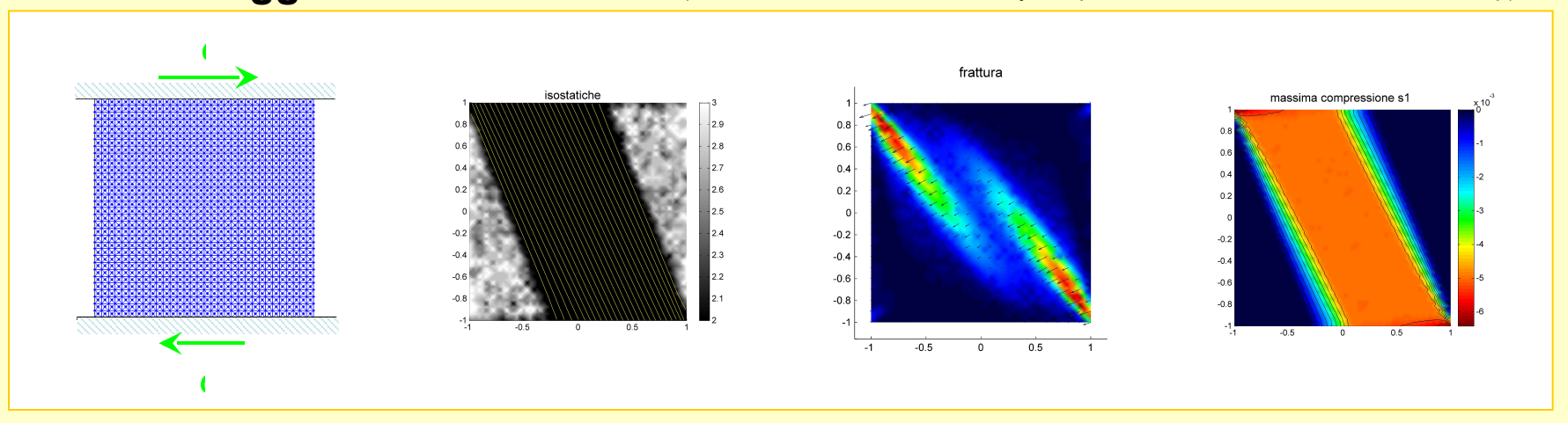


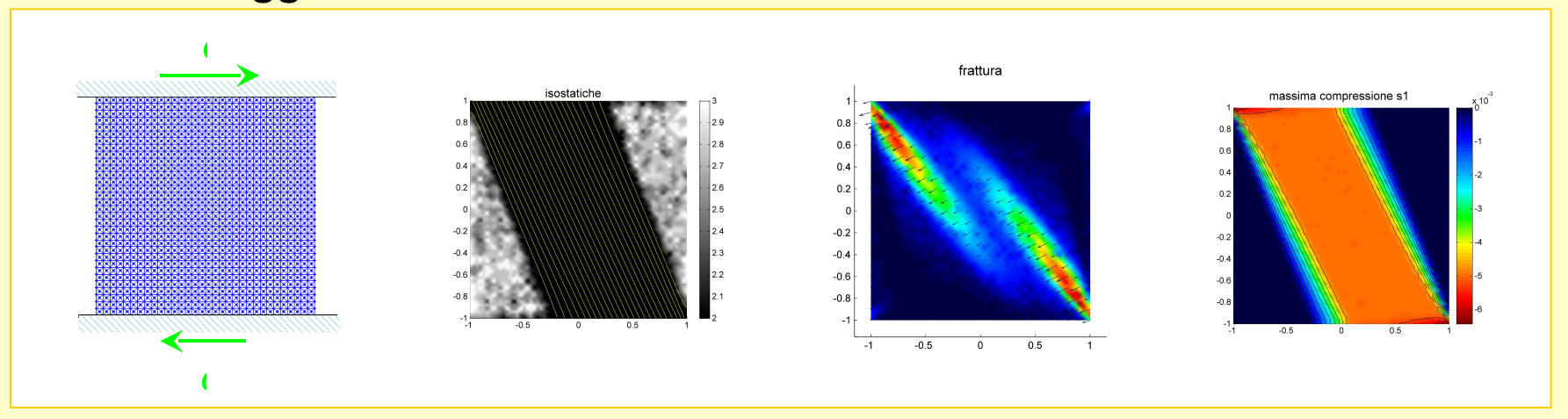












Apertura di forza in una parete

